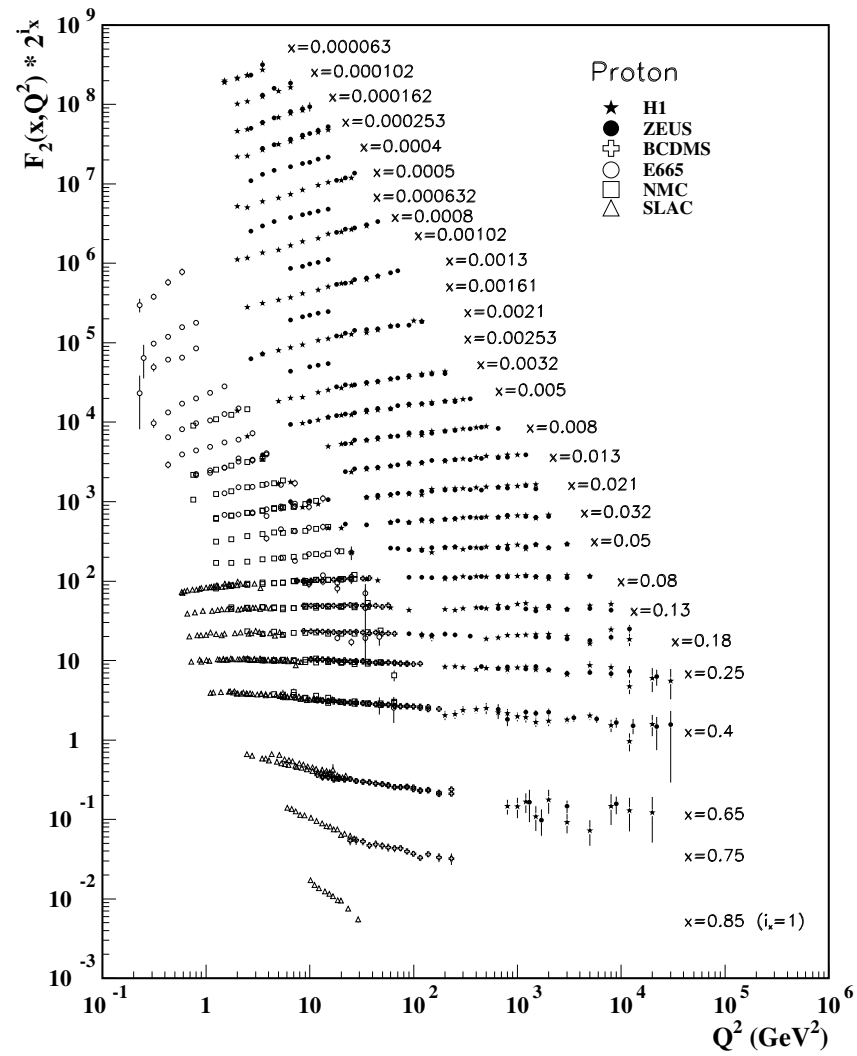
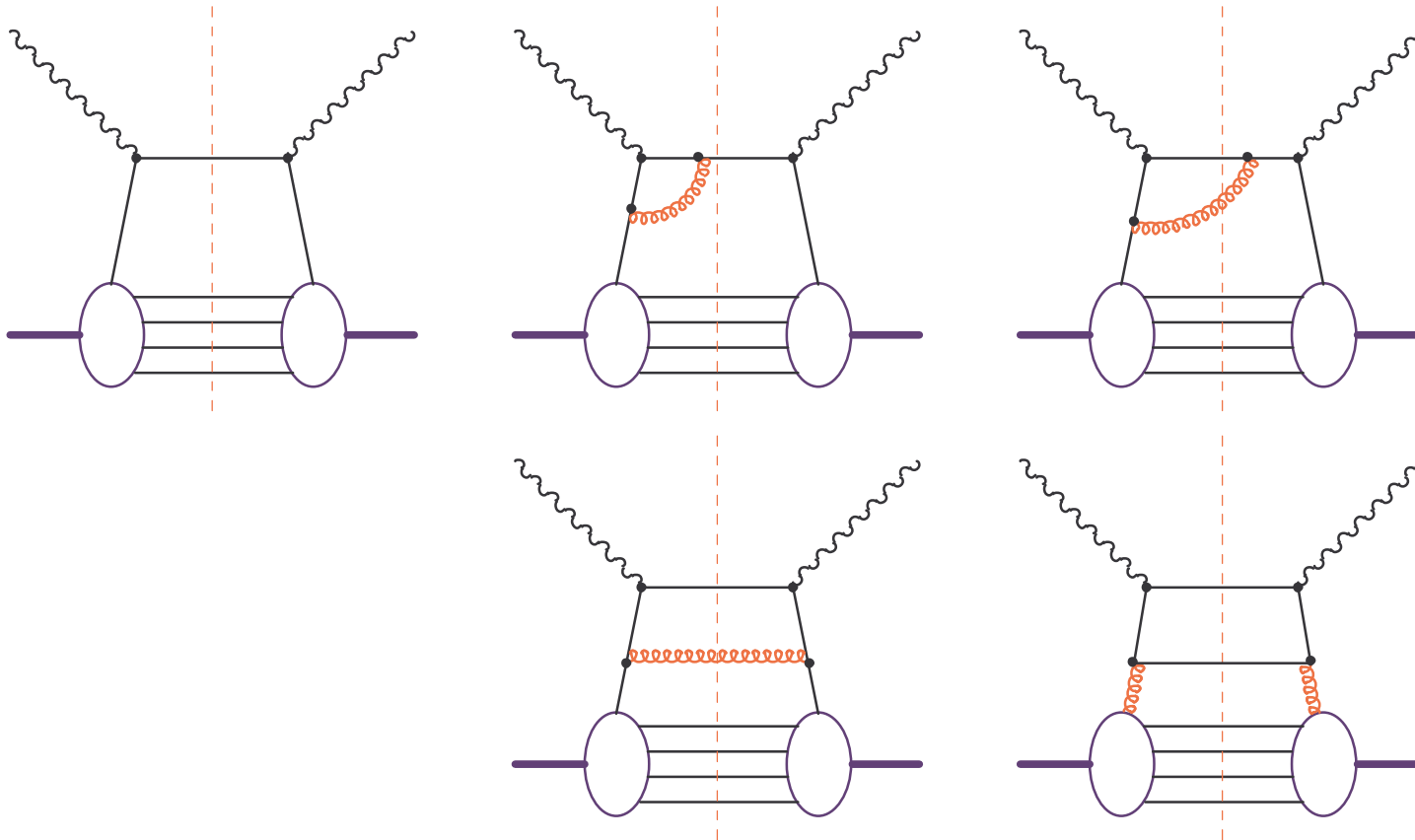


Łamanie skalowania Bjorkena

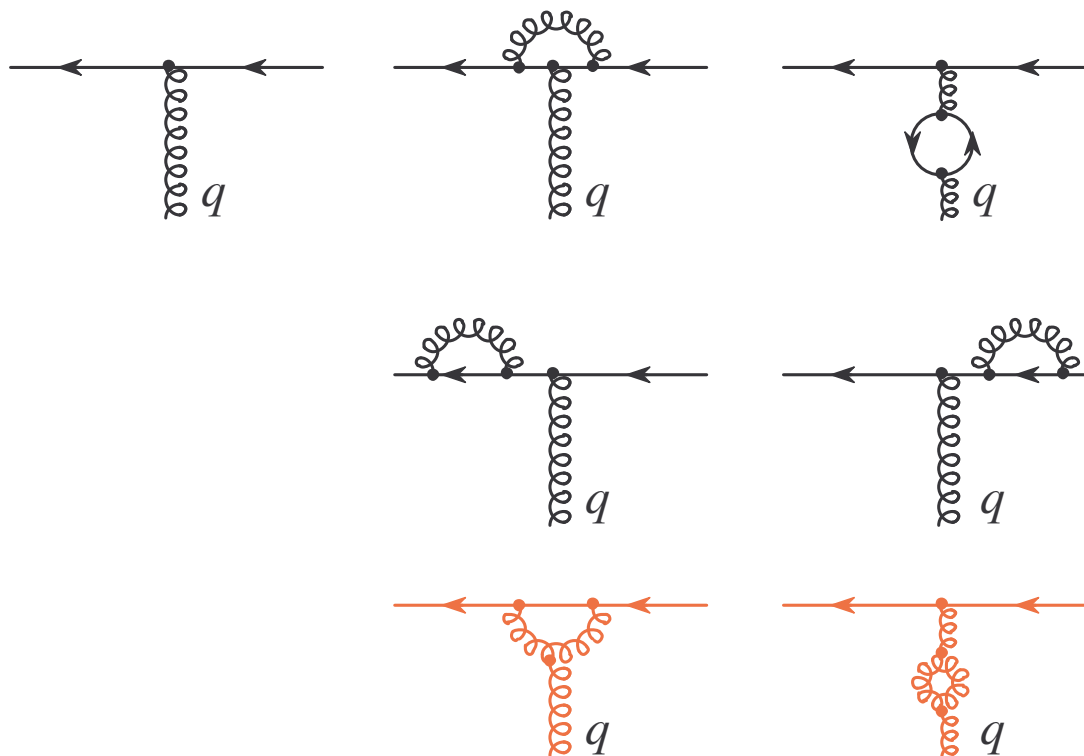


Poprawki radiacyjne



Dlaczego można stosować rachunek zaburzeń, przecież stała sprzężenia jest duża (oddziaływania są silne)?

Poprawki kwantowe - rozbieżności



Poprawki do wierzchołka fermion-bozon wektorowy. Kolorem czarnym narysowane są diagramy wspólne dla QED i teorii nieabelowej, kolorem czerwonym dodatkowe diagramy, które istnieją tylko w teorii nieabelowej.

Te diagramy zawierają całki rozbieżne **logarytmicznie**.

Regularyzacja

- Obcięcie czterowymiarowe ($\Lambda \rightarrow \infty$)

$$\underbrace{g^2 \int^{\infty} \frac{dk}{k + \dots}}_{\text{skończone}} \rightarrow g_{\Lambda}^2 \int^{\Lambda} \frac{dk}{k + \dots} = g_{\Lambda}^2 \ln \Lambda + \text{skończone}$$

- Regularyzacja wymiarowa ($\varepsilon \rightarrow 0$)

$$\underbrace{g^2 \int^{\infty} \frac{dk}{k + \dots}}_{\text{skończone}} \rightarrow g_{\varepsilon}^2 \int^{\infty} k^{-\varepsilon} \frac{dk}{k + \dots} = g_{\varepsilon}^2 \frac{1}{\varepsilon} k^{-\varepsilon} \Big|_{\text{skończone}}^{\infty} \rightarrow -g_{\varepsilon}^2 \frac{1}{\varepsilon} \times \text{skończone}$$

Renormalizacja

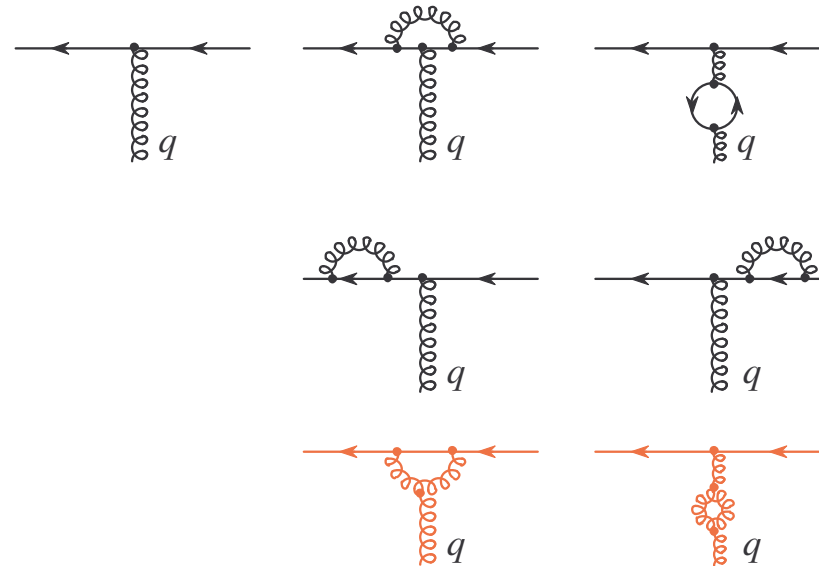
Renormalizacja polega na *wepchnięciu* nieskończoności do

- stałej sprzężenia,
- mas cząstek,
- funkcji falowych.

Jeśli tylko skończona liczba typów rozbieżności się pojawia, która się daje usunąć w ten sposób, to mówimy, że teoria jest *renormalizowalna*.

Nawet jeżeli w teorii nie było stałej wymiarowej (wszystkie masy kładziemy zero, stała sprzężenia jest bezwymiarowa), to renormalizacja wprowadza zależność stałej sprzężenia od pewnej stałej wymiarowej.

Renormalizacja c.d.



Ponieważ w opisywanym problemie mamy tylko jedną zmienną wymiarową $Q^2 = -q^2$ ($m = 0$), zregularyzowane wyrażenie może zawierać potencjalną rozbieżność jedynie jako logarytm stosunku Q^2/Λ^2 :

$$(\text{suma diagramów z rysunku}) = g_\Lambda \left(1 - g_\Lambda^2 \left(a \ln \frac{Q^2}{\Lambda^2} + \dots \right) + \dots \right)$$

Renormalizacja polega na wciągnięciu nieskończoności do g_Λ .

Renormalizacja c.d.

Rozwińmy potencjalnie nieskończoną stałą g_Λ w funkcji skończonej stałej sprzężenia g :

$$g_\Lambda = g - ag^3 \ln \frac{\Lambda^2}{Q_0^2} + \dots$$

$$\begin{aligned} (\text{suma}) &= g_\Lambda \left(1 - g_\Lambda^2 \left(a \ln \frac{Q^2}{\Lambda^2} + \dots \right) + \dots \right) \\ &= \left(g - ag^3 \ln \frac{\Lambda^2}{Q_0^2} + \dots \right) \left(1 - \left(g - ag^3 \ln \frac{\Lambda^2}{Q_0^2} + \dots \right)^2 \left(a \ln \frac{Q^2}{\Lambda^2} + \dots \right) + \dots \right) \\ &= g - ag^3 \ln \frac{\Lambda^2}{Q_0^2} - g^3 a \ln \frac{Q^2}{\Lambda^2} + \dots \\ &= g - ag^3 \ln \frac{Q^2}{Q_0^2} + \dots = g(Q^2). \end{aligned}$$

Renormalizacja c.d.

Lepiej zapisać to dla stałej g^2 :

$$g^2(Q^2) = g^2 - 2ag^4 \ln \frac{Q^2}{Q_0^2} + \dots = \frac{g^2}{1 + 2ag^2 \ln \frac{Q^2}{Q_0^2}}$$

Co to jest g^2 ?

$$g^2 = g^2(Q_0^2)$$

Spróbujemy nieznaną wartość g w arbitralnym (acz ustalonym) punkcie Q_0^2 zastąpić przez nową stałą wymiarową, którą oznaczymy Λ_{QCD} . Najpierw przepisemy

$$\frac{1}{g^2(Q^2)} = \frac{1}{g^2(Q_0^2)} \left(1 + 2ag^2(Q_0^2) \ln \frac{Q^2}{Q_0^2} \right) = \frac{1}{g^2(Q_0^2)} + 2a \ln \frac{Q^2}{Q_0^2}$$

co daje

$$\frac{1}{g^2(Q^2)} - 2a \ln Q^2 = \frac{1}{g^2(Q_0^2)} - 2a \ln Q_0^2 \stackrel{\text{ozn.}}{=} -2a \ln \Lambda_{\text{QCD}}^2$$

co daje (to jest wzór asymptotyczny dla dużego Q^2)

$$\frac{1}{g^2(Q^2)} = 2a \ln \frac{Q^2}{\Lambda_{\text{QCD}}^2} \rightarrow g^2(Q^2) = \frac{1}{2a \ln \frac{Q^2}{\Lambda_{\text{QCD}}^2}}$$

Biegąca stała sprzężenia

Jeżeli a jest ujemne to wzór

$$g^2(Q^2) = \frac{g^2}{1 + 2ag^2 \ln \frac{Q^2}{Q_0^2}}$$

ma osobliwość (biegun Landaua w elektrodynamice), jeżeli a jest dodatnie, $g^2(Q^2)$ znika dla dużych Q^2 (asymptotyczna swoboda). Używając (standardowa notacja):

$$\alpha(Q^2) = \frac{4\pi}{\beta_0 \ln \frac{Q^2}{\Lambda_{\text{QCD}}^2}}, \quad \beta_0 = \frac{11}{3}C_A - \frac{2}{3}n_f$$

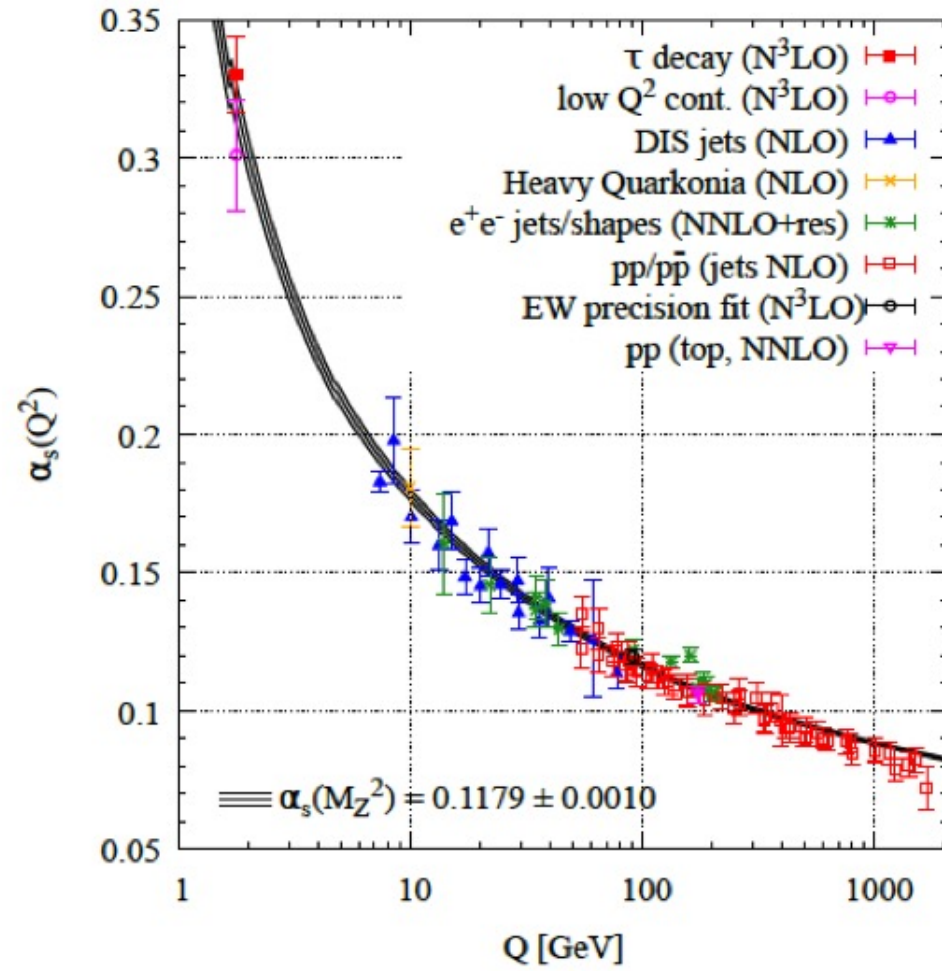
gdzie

$n_f \rightarrow$ liczba kwarków w diagramie pętlowym

$C_A \rightarrow$ operator Casimira dla grupy $SU(N_c)$

$\Lambda_{\text{QCD}} \approx 300$ MeV, zależy od schematu renormalizacji, rzędu rachunku zaburzeń

Asymptotyczna swoboda tłumaczy, dlaczego z zderzeniu głęboko nieelastycznym można stosować rachunek zaburzeń.



Rysunek 1: Biegająca stała sprzężenia (PDG 2019).

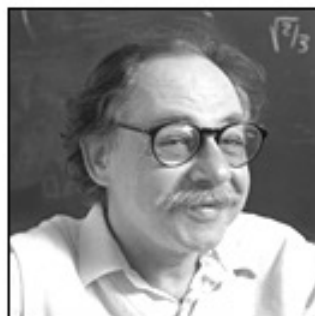
Asymptotyczna swoboda

1973: Gross & Wilczek w Princeton oraz Politzer (student Coleman, który był na sabattical w Princeton) na Harvardzie wyliczyli funkcję beta dla teorii Yanga-Millsa

Gross:

For me the discovery of asymptotic freedom was totally unexpected. Like an atheist who has just received a message from a burning bush, I became an immediate true believer. Field theory wasn't wrong—instead scaling must be explained by an asymptotically free gauge theory

Nobel
2004



Asymptotyczna swoboda (prehistoria)

$$b_1 = -\left[\frac{11}{6}C_A - \frac{2}{3}\sum_R n_R T_R\right]$$

- 1965 Mikhail Terentyev & Vlasimir Vanyashin (ITEP)
błąd: $11 \times 2 = 22$, ich wynik = 21

Ваняшин В С, Терентьев М В *ЖЭТФ* **48** 565 (1965) [Vanyashin V S, Terentyev M V *Sov. Phys. JETP* **21** 375 (1965)]

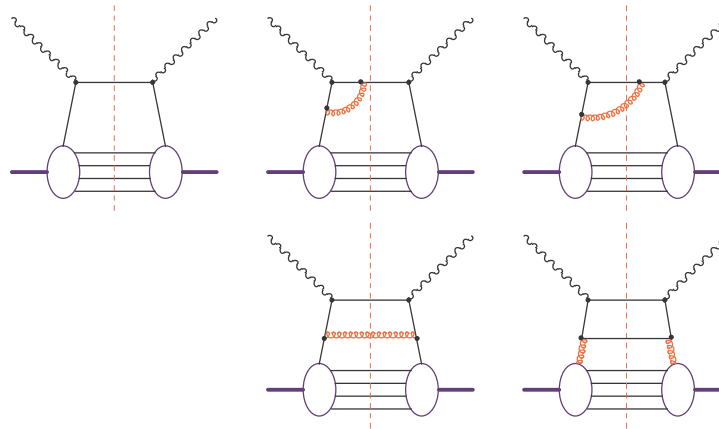
- 1969 Iosif Khripovich (Nowosybirsk)
(cechowanie Coulomba)

Хриплович И Б *ЯФ* **10** 410 (1969) [Khriplovich I B *Sov. J. Nucl. Phys.* **10** 235 (1970)]

- 1972 Gerald 't Hooft
konferencja w Marsylii, dyskusja po referacie
Kurta Symanzika



Ewolucja rozkładów partonowych



Ostatecznie mamy zespół równań (Dokshitzera–Gribova-Lipatova) Altarelliego-Parisiego, który sumuje emisje kolinearne:

$$Q^2 \frac{d}{dQ^2} q_i(x, Q^2) = \frac{\alpha_s(Q^2)}{2\pi} [P_{qq} \otimes q_i(Q^2) + P_{qG} \otimes G(Q^2)]$$

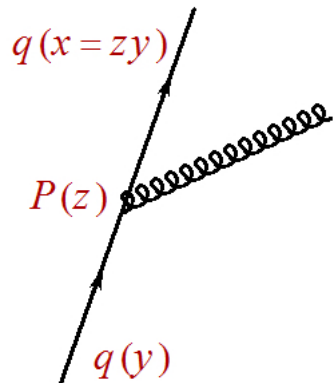
$$Q^2 \frac{d}{dQ^2} G(x, Q^2) = \frac{\alpha_s(Q^2)}{2\pi} \left[P_{Gq} \otimes \sum_i q_i(Q^2) + P_{GG} \otimes G(Q^2) \right]$$

Równania DGLAP

$$Q^2 \frac{d}{dQ^2} q_i(x, Q^2) = \frac{\alpha_s(Q^2)}{2\pi} [P_{qq} \otimes q_i(Q^2) + P_{qG} \otimes G(Q^2)]$$

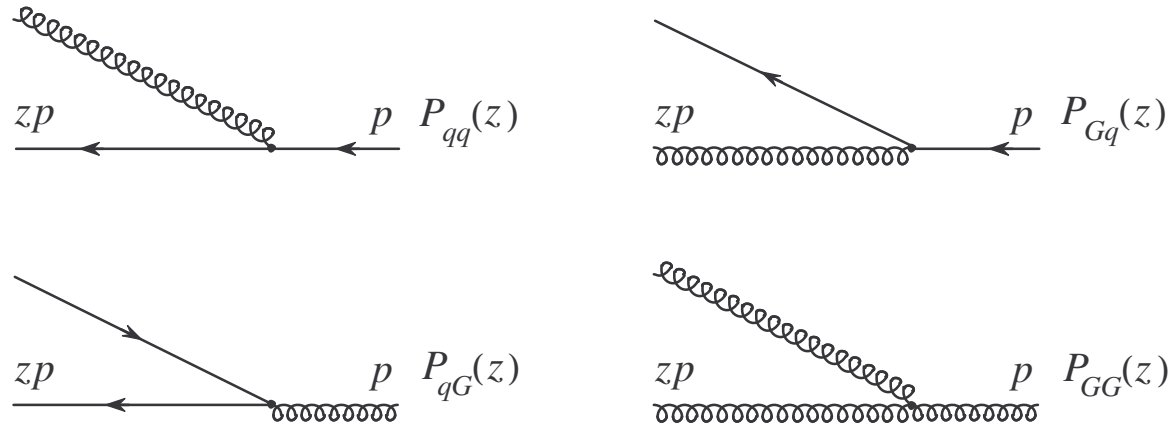
$$Q^2 \frac{d}{dQ^2} G(x, Q^2) = \frac{\alpha_s(Q^2)}{2\pi} \left[P_{Gq} \otimes \sum_i q_i(Q^2) + P_{GG} \otimes G(Q^2) \right]$$

W równaniu użyliśmy konwolucję w zmiennej $p_{\text{parton}} = xP_{\text{proton}}$:



$$\begin{aligned} P_{qq} \otimes q &= \int_0^1 dz \int_0^1 dy \delta(x - zy) P_{qq}(z) q(y) \\ &= \int_x^1 \frac{dy}{y} P_{qq}\left(\frac{x}{y}\right) q(y) = \int_x^1 \frac{dz}{z} P_{qq}(z) q\left(\frac{x}{z}\right) \end{aligned}$$

Prawdopodobieństwa Altarelli-Parisi



(czas płynie w lewo) Wyrażenia analityczne:

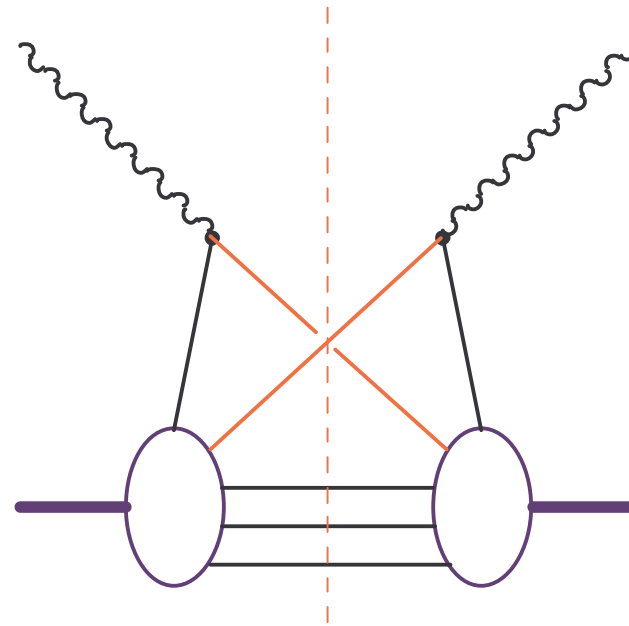
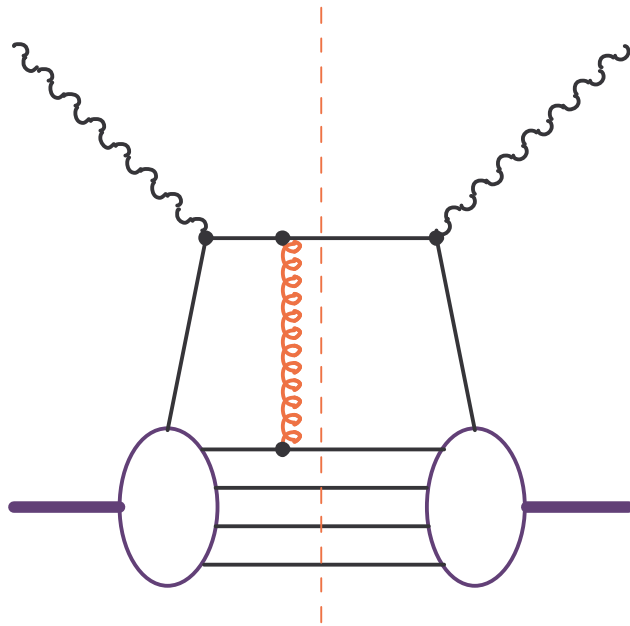
$$P_{qq}(z) = C_F \left(\frac{1+z^2}{1-z} \right)_+, \quad P_{Gq}(z) = C_F \frac{1+(1-z)^2}{z}, \quad P_{qG}(z) = \frac{1}{2} \left[z^2 + (1-z)^2 \right]$$

$$P_{GG}(z) = 2C_A \left[\frac{z}{(1-z)_+} + \frac{1-z}{z} + z(1-z) \right] + \frac{1}{2} \left(\frac{11}{3}C_A - \frac{2}{3}n_f \right) \delta(1-z)$$

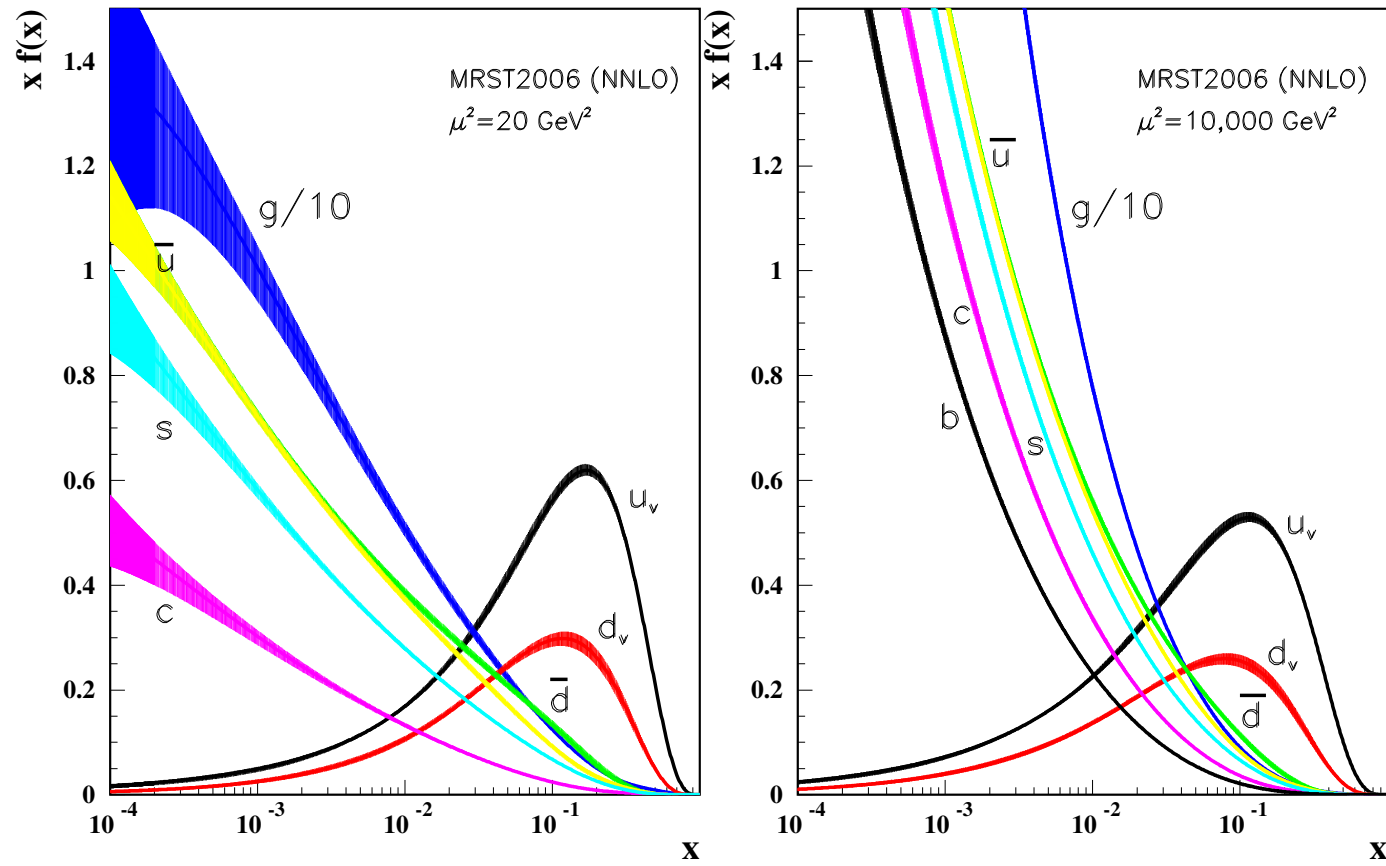
Interpretacja

- ze wzrostem Q^2 rośnie przestrzeń fazowa, można wyemitować nowe gluony
- rozdzielczość $d \sim 1/Q$ – widzimy więcej coraz mniejszych obiektów

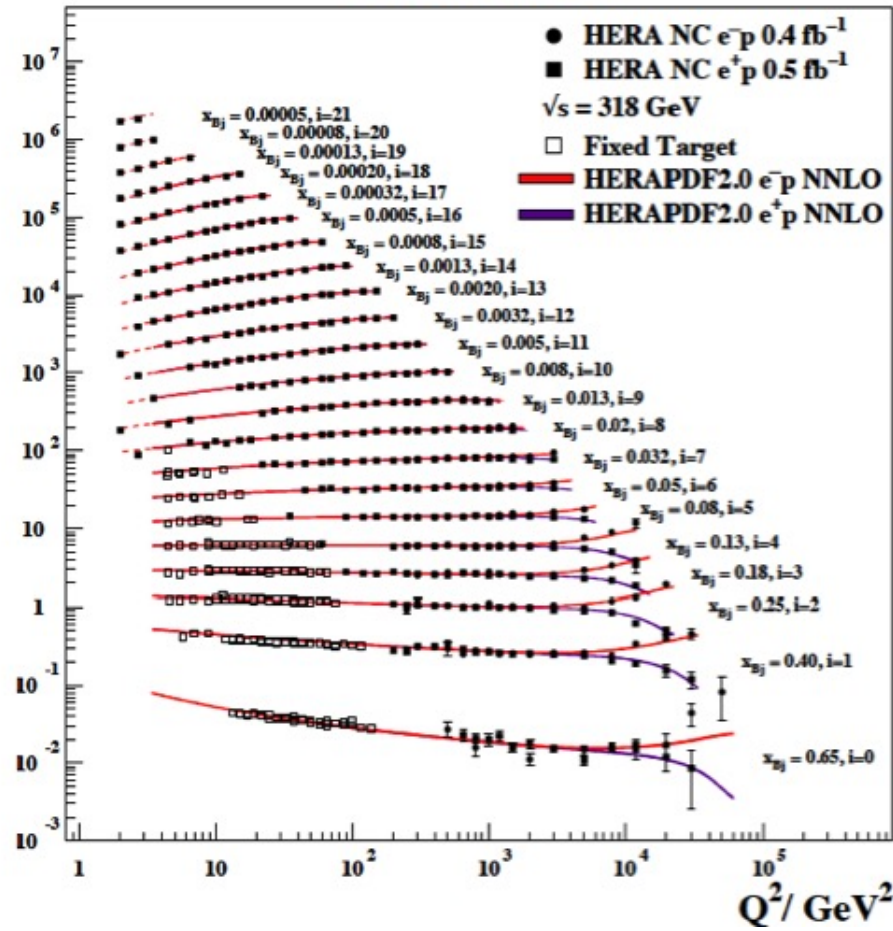
Poprawki których nie bierzemy pod uwagę:



Rozkłady partonów i ewolucja DGLAP



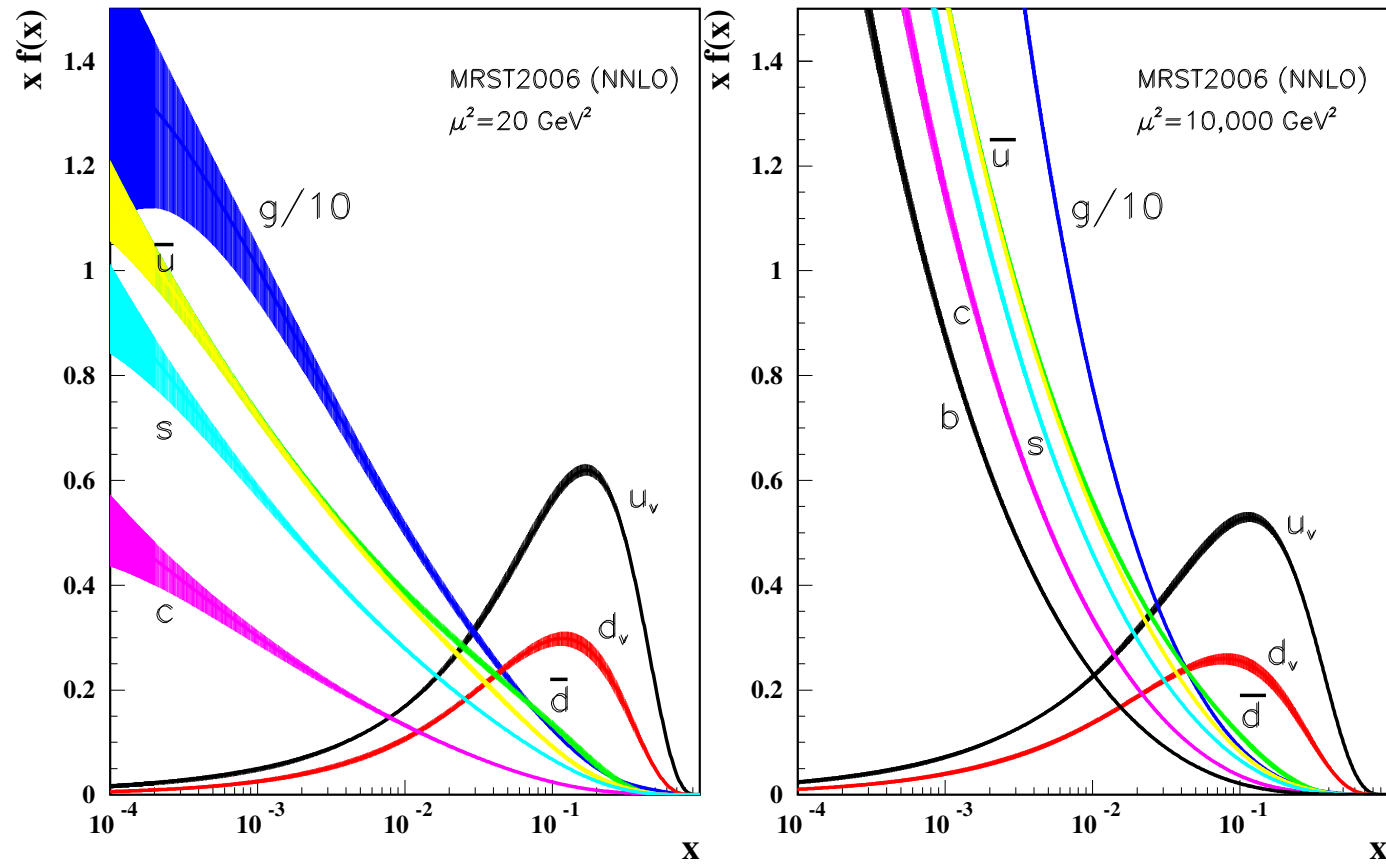
H1 and ZEUS



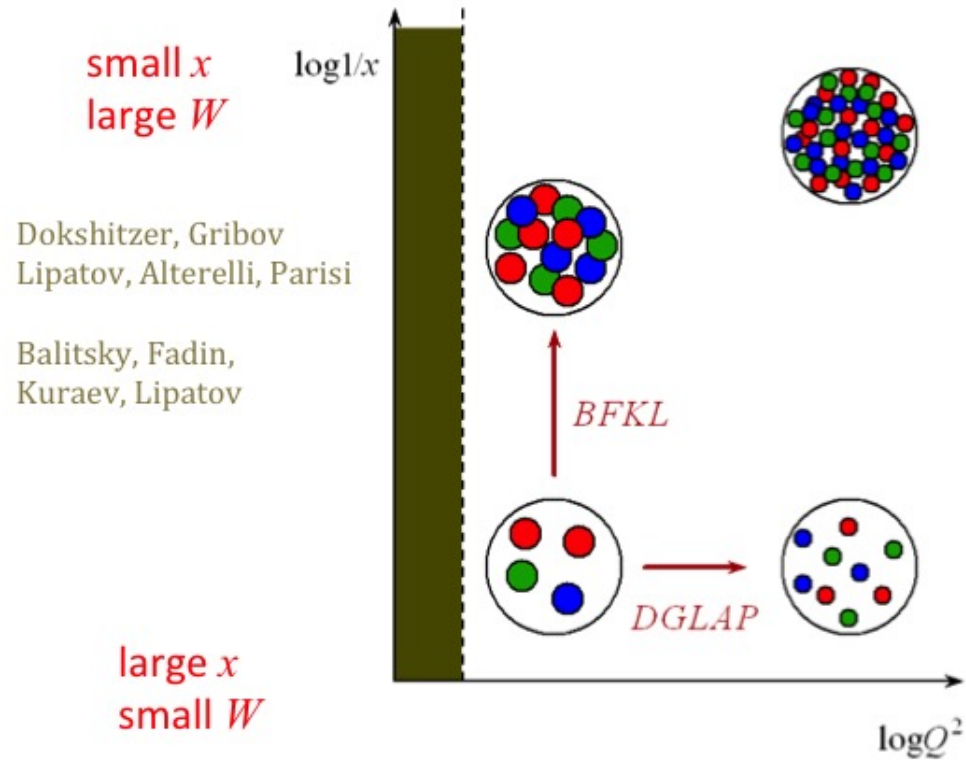
Dane

- SLAC (Stanford Linear Accelerator Center, Menlo Park) 1961 – długość 3.2 km, przyspieszał elektrony, które uderzały w stacjonarną tarczę, $E = 50$ GeV
- HERA akcelerator w DESY (Deutsches Elektronen-Synchrotron, Hamburg) 1992–2007 – akcelerator kołowy 6,336 km, zderzenia przeciwbieżnych wiasek e^+e^- , $\sqrt{s} = 318$ GeV, eksperymenty H1, ZEUS, HERMES, HERA-B
- EIC (Electron Ion Collider, Brookaven) planowany na 2028 (?)

Rozkłady partonów i ewolucja DGLAP



DGLAP vs. BFKL evolution



Podsumowanie

- Teorie z symetrią cechowania są renormalizowalne
- Transmutacja wymiarowa: Λ_{QCD}
- Biegnąca stała sprzężenia: $\alpha_s(Q^2)$
- Równania ewolucji $Q^2 d/dQ^2$ – DGLAP, $x d/dx$ – BFKL
- Rozkłady partonów wymagają nieperturbacyjnych (doświadczalnych) warunków początkowych
- Saturacja